

УДК 533.6.011.7

## **Численное исследование поведения совершенного газа в вибрирующей цилиндрической полости с теплоизолированными стенками\***

**А.А. Губайдуллин<sup>1,2</sup>, А.В. Яковенко<sup>1</sup>**

<sup>1</sup>*Тюменский филиал Института теоретической и прикладной механики  
им. С.А. Христиановича СО РАН*

<sup>2</sup>*Тюменский государственный нефтегазовый университет*

E-mail: annyakovenko@yandex.ru

Численно исследовано влияние вибрационного воздействия на цилиндрическую полость, заполненную вязким совершенным газом. Задача решена в двумерной осесимметричной постановке. Стенки полости теплоизолированные. Проведено сравнение численного решения задачи с аналитическим в линейном приближении. Описаны нелинейные эффекты и эффекты неоднородности.

**Ключевые слова:** амплитуда вибрации, частота вибрации, совершенный газ, ударная волна, режим установившихся колебаний.

### **Введение**

Вибрация — довольно часто встречающееся явление в технике, которое может быть как сопровождающим фактором, так и частью технологического процесса. Важное практическое значение имеет детальное изучение вибрационного воздействия на замкнутые полости с газом. Различного рода вибрационным воздействиям на полости (трубы) посвящен ряд экспериментальных, теоретических и численных исследований [1–12]. Широко изучены продольные колебания газа в закрытых трубах с вибрирующим поршнем. В работе [1] экспериментально и теоретически (в одномерной постановке) исследовались волновые процессы в трубке Кундта при малой амплитуде колебаний поршня и частоте, близкой к собственной частоте системы. В работе [2] волновые процессы описывались в одномерной постановке на основе численного интегрирования уравнений газовой динамики, рассматривались переходные процессы из начального состояния до периодически повторяющегося режима без жестких ограничений на амплитуду вибрации. Частота вибрации бралась в окрестности половины собственной частоты системы. В работе [3] экспериментально исследовались нелинейные резонансы второго и третьего порядков, рассматривался переход от почти гармонических колебаний

---

\* Работа выполнена при поддержке Совета по грантам Президента РФ для гос. поддержки ведущих научных школ РФ (грант НШ-2669.2014.1).

газа к сильно нелинейным. В работе [4] численно изучалось акустическое течение в прямоугольной полости с колеблющимся с постоянной частотой поршнем. Полость была заполнена воздухом, стенки полости адиабатические. Амплитуда колебаний поршня варьировалась. Показано, что при увеличении амплитуды колебаний существенно меняется структура акустического течения. В работе [5] численно исследовалось акустическое течение в прямоугольной полости с разнонагретыми горизонтальными границами и адиабатическими вертикальными. Волновое движение вызывалось вибрацией левой границы полости с частотой, приводящей к образованию стоячих акустических волн. Было описано влияние вибрации на тепловую конвекцию. В работах [6, 7] численно исследовалась тепловая конвекция за счет совместного действия силы тяжести и вертикальной вибрации в квадратной полости с разнонагретыми вертикальными стенками и адиабатическими горизонтальными, при этом вибрации подвергалась целиком вся полость. Было установлено влияние частоты вибрации и числа Рэлея на тепловую конвекцию. В работе [8] рассматривалась квадратная полость с адиабатическими горизонтальными границами и разнонагретыми вертикальными. Полость находилась в поле силы тяжести, задавалась меняющаяся по синусоидальному закону объемная сила, действующая в горизонтальном или в вертикальном направлении. В работе [9] было выполнено аналитическое исследование акустического течения, образованного стоячими волнами в трубе произвольной ширины с учетом теплопроводности и зависимости вязкости от температуры. Получено решение задачи в линейном приближении. Рассмотрены как плоский двумерный случай, так и осесимметричный. В работе [10] проводилось численное исследование волновых процессов в полости, подверженной вибрационному воздействию, в одномерной постановке. Была определена максимальная температура, достигающаяся внутри полости при вибрации с частотой из выбранного диапазона, описано сложное волновое движение в начальной стадии процесса. При той же постановке задачи в работе [11] был описан режим установившихся колебаний при двух типах граничных условий: адиабатических и изотермических, а в [12] определены нелинейные эффекты при адиабатических граничных условиях.

В настоящей работе в двумерной постановке изучено влияние вибрационного воздействия на цилиндрическую полость с адиабатическими границами, заполненную вязким совершенным газом. Диапазон частот вибрации охватывает как слабые воздействия, которые могут быть описаны с помощью линейной теории, так и сильные воздействия, ведущие к проявлению нелинейных эффектов. Проведено сравнение результатов расчета с аналитическим решением задачи в линейном приближении [9, 13], а также с результатами расчета задачи в одномерной постановке [12] (в отсутствие боковой поверхности цилиндрической полости).

### Постановка задачи

Рассмотрим цилиндрическую полость (трубу) длиной  $L$  и диаметром  $2M$  с непроводящими торцами (рис. 1). Пусть  $(x', r')$  — неподвижная система отсчета,  $(x, r)$  — подвижная система отсчета, связанная с вибрирующей полостью. Полость заполнена совершенным вязким газом (воздухом). Изначально газ в полости находится в состоянии покоя при постоянной температуре  $T_0$  и постоянном давлении  $p_0$ . Система выводится из равновесия вибрационным воздействием  $A \cos(\omega t)$  с постоянными амплитудой  $A$  и частотой  $\omega$ . На поверхности цилиндра и его торцах заданы адиабатические граничные условия. Коэффициенты теплопроводности, теплоемкости и вязкости считаются постоянными.

Система уравнений, описывающая движение газа относительно вибрирующей полости в цилиндрической системе координат, имеет вид:

$$\frac{\partial \rho}{\partial t} + \frac{\partial \rho u}{\partial x} + \frac{1}{r} \frac{\partial r \rho v}{\partial r} = 0,$$

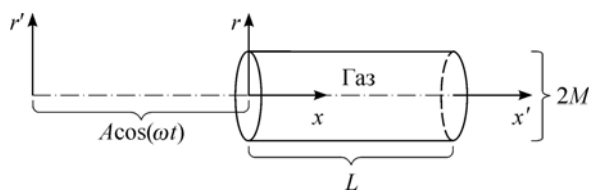


Рис. 1. Исследуемая область.

$$\rho \frac{\partial u}{\partial t} + \rho u \frac{\partial u}{\partial x} + \rho v \frac{\partial u}{\partial r} = -\frac{\partial p}{\partial x} + \mu \left( \frac{\partial^2 u}{\partial x^2} + \frac{1}{r} \frac{\partial}{\partial r} \left( r \frac{\partial u}{\partial r} \right) \right) + \frac{\mu}{3} \left( \frac{\partial^2 u}{\partial x^2} + \frac{1}{r} \frac{\partial}{\partial x} \left( \frac{\partial r v}{\partial r} \right) \right) + \rho A \omega^2 \cos(\omega t),$$

$$\rho \frac{\partial v}{\partial t} + \rho u \frac{\partial v}{\partial x} + \rho v \frac{\partial v}{\partial r} = -\frac{\partial p}{\partial r} + \mu \left( \frac{\partial^2 v}{\partial x^2} + \frac{1}{r} \frac{\partial}{\partial r} \left( r \frac{\partial v}{\partial r} \right) \right) + \frac{\mu}{3} \left( \frac{1}{r} \frac{\partial}{\partial r} \left( r \frac{\partial v}{\partial r} \right) + \frac{\partial}{\partial r} \left( \frac{\partial u}{\partial x} \right) \right) - \frac{4}{3} \frac{\mu v}{r^2},$$

$$\rho c_v \frac{\partial T}{\partial t} + \rho c_v u \frac{\partial T}{\partial x} + \rho c_v v \frac{\partial T}{\partial r} = k \left( \frac{\partial^2 T}{\partial x^2} + \frac{1}{r} \frac{\partial}{\partial r} \left( r \frac{\partial T}{\partial r} \right) \right) - p \left( \frac{\partial u}{\partial x} + \frac{1}{r} \frac{\partial r v}{\partial r} \right) - \frac{2}{3} \mu \left( \frac{\partial u}{\partial x} + \frac{1}{r} \frac{\partial r v}{\partial r} \right)^2 + \mu \left( \frac{\partial u}{\partial r} + \frac{\partial v}{\partial x} \right)^2 + 2\mu \left( \left( \frac{\partial u}{\partial x} \right)^2 + \left( \frac{\partial v}{\partial r} \right)^2 + \frac{v^2}{r^2} \right),$$

$$p = \rho R_g T.$$

Начальные и граничные условия примем в виде:

$$t = 0: \quad u = 0, \quad v = 0, \quad T = T_0, \quad p = p_0, \quad \rho = \rho_0,$$

$$x = 0: \quad u = 0, \quad v = 0, \quad \partial T / \partial x = 0,$$

$$x = L: \quad u = 0, \quad v = 0, \quad \partial T / \partial x = 0,$$

$$r = M: \quad u = 0, \quad v = 0, \quad \partial T / \partial r = 0.$$

Здесь  $t$  — время,  $x, r$  — пространственные координаты,  $u, v$  — составляющие скорости,  $\rho$  — плотность,  $p$  — давление,  $T$  — температура,  $R_g$  — газовая постоянная,  $\mu$  — коэффициент динамической вязкости,  $k$  — коэффициент теплопроводности,  $c_v$  — удельная теплоемкость при постоянном объеме.

Введем следующие безразмерные переменные и параметры:

$$X = \frac{x}{L}, \quad R = \frac{r}{L}, \quad \tau = \frac{t c_0}{L}, \quad P = \frac{p}{\gamma p_0}, \quad \tilde{\rho} = \frac{\rho}{\rho_0}, \quad \Theta = \frac{T - T_0}{T_0}, \quad U = \frac{u}{c_0}, \quad V = \frac{v}{c_0},$$

$$\Gamma = \frac{\gamma k}{\rho_0 c_0 L c_p}, \quad N = \frac{\mu}{\rho_0 c_0 L} \quad \text{— безразмерные коэффициенты, } \gamma = \frac{c_p}{c_v} \quad \text{— показатель адиабаты, } \Omega = \frac{\omega L}{c_0} \quad \text{— безразмерная частота вибрации, } \tilde{A} = \frac{A}{L} \quad \text{— безразмерная амплитуда}$$

$$\text{вибрации, } \tilde{M} = \frac{M}{L} \quad \text{— безразмерный радиус полости, } c_0 = \left( \frac{\gamma p_0}{\rho_0} \right)^{1/2}. \quad \text{Нижним индексом "0"}$$

отмечены параметры невозмущенного газа. Тогда система уравнений, граничные и начальные условия примут вид:

$$\begin{aligned} \frac{\partial \tilde{\rho}}{\partial \tau} + \frac{\partial \tilde{\rho}U}{\partial X} + \frac{1}{R} \frac{\partial R \tilde{\rho}V}{\partial R} &= 0, \\ \tilde{\rho} \frac{\partial U}{\partial \tau} + \tilde{\rho}U \frac{\partial U}{\partial X} + \tilde{\rho}V \frac{\partial U}{\partial R} &= -\frac{\partial P}{\partial X} + N \left( \frac{\partial^2 U}{\partial X^2} + \frac{1}{R} \frac{\partial}{\partial R} \left( R \frac{\partial U}{\partial R} \right) \right) + \frac{N}{3} \left( \frac{\partial^2 U}{\partial X^2} + \right. \\ &\quad \left. + \frac{1}{R} \frac{\partial}{\partial X} \left( \frac{\partial R V}{\partial R} \right) \right) + \tilde{\rho} \tilde{A} \Omega^2 \cos(\Omega \tau), \\ \tilde{\rho} \frac{\partial V}{\partial \tau} + \tilde{\rho}U \frac{\partial V}{\partial X} + \tilde{\rho}V \frac{\partial V}{\partial R} &= -\frac{\partial P}{\partial R} + N \left( \frac{\partial^2 V}{\partial X^2} + \frac{1}{R} \frac{\partial}{\partial R} \left( R \frac{\partial V}{\partial R} \right) \right) + \frac{N}{3} \left( \frac{1}{R} \frac{\partial}{\partial R} \left( R \frac{\partial V}{\partial R} \right) + \right. \\ &\quad \left. + \frac{\partial}{\partial R} \left( \frac{\partial U}{\partial X} \right) \right) - \frac{4}{3} N \frac{V}{R^2}, \\ \tilde{\rho} \frac{\partial \Theta}{\partial \tau} + \tilde{\rho}U \frac{\partial \Theta}{\partial X} + \tilde{\rho}V \frac{\partial \Theta}{\partial R} &= \Gamma \left( \frac{\partial^2 \Theta}{\partial X^2} + \frac{1}{R} \frac{\partial}{\partial R} \left( R \frac{\partial \Theta}{\partial R} \right) \right) - \gamma(\gamma-1) P \left( \frac{\partial U}{\partial X} + \frac{1}{R} \frac{\partial R V}{\partial R} \right) - \\ &\quad - \frac{2}{3} \gamma(\gamma-1) N \left( \frac{\partial U}{\partial X} + \frac{1}{R} \frac{\partial R V}{\partial R} \right)^2 + \gamma(\gamma-1) N \left( \frac{\partial U}{\partial R} + \frac{\partial V}{\partial X} \right)^2 + \\ &\quad + 2\gamma(\gamma-1) N \left[ \left( \frac{\partial U}{\partial X} \right)^2 + \left( \frac{\partial V}{\partial R} \right)^2 + \frac{V^2}{R^2} \right], \\ P &= \frac{\tilde{\rho}(\Theta+1)}{\gamma}, \\ \tau = 0: \quad U &= 0, \quad V = 0, \quad \Theta = 0, \quad P = 1/\gamma \approx 0,71, \quad \tilde{\rho} = 1, \\ X = 0: \quad U &= 0, \quad V = 0, \quad \partial \Theta / \partial X = 0, \\ X = 1: \quad U &= 0, \quad V = 0, \quad \partial \Theta / \partial X = 0, \\ R = \tilde{M}: \quad U &= 0, \quad V = 0, \quad \partial \Theta / \partial R = 0. \end{aligned}$$

### Анализ полученных результатов

Для численного моделирования были использованы метод и алгоритм, описание которых приведено в работе [11] для одномерного случая. Численная схема является неявной, консервативной и позволяет проводить сквозной счет течений с ударными волнами. В описанных ниже расчетах использовались следующие значения параметров:  $\gamma = 1,4$ ,  $\tilde{M} = 0,02$ ,  $\tilde{A} = 2$ ,  $\Omega = 0,14, 0,29, 0,43, 0,58, 0,72, 0,86$ ,  $\Gamma = 1,7 \cdot 10^{-5}$ ,  $N = 1,2 \cdot 10^{-5}$ . Расчетная сетка для частот вибрации 0,14, 0,29, 0,43 имела  $1002 \times 22$  расчетных точек, а для частот вибрации 0,58, 0,72, 0,86 —  $1002 \times 32$  расчетных точек. Таким образом, на толщину акустического пограничного слоя, которая в безразмерном виде определяется формулой  $\tilde{\delta}_a = \sqrt{2N/\Omega}$ , приходилось 8–14 расчетных точек. Шаг по пространству выбирался по методике двойного пересчета Рунге, по времени — исходя из условия устойчивости Куранта. В процессе вычислений осуществлялся контроль над соблюдением баланса массы и баланса энергии в расчетной области.

В начальной стадии процесса помимо вынужденных колебаний возникают свободные колебания, которые затухают с течением времени. В режиме установившихся колебаний для случая равномерно распределенной по области периодической силы можно получить аналитическое решение соответствующей одномерной задачи в линейном приближении [13]:

$$P(X, \tau) = \frac{\tilde{A}\Omega \cos(\Omega\tau) \sin(\Omega(X-0,5))}{\cos(0,5\Omega)} + \frac{1}{\gamma},$$

$$U(X, \tau) = -\frac{\tilde{A}\Omega \sin(\Omega\tau) \cos(\Omega(X-0,5))}{\cos(0,5\Omega)} + \tilde{A}\Omega \sin(\Omega\tau),$$

$$\tilde{\rho}(X, \tau) = \frac{\tilde{A}\Omega \cos(\Omega\tau) \sin(\Omega(X-0,5))}{\cos(0,5\Omega)} + 1,$$

$$\Theta(X, \tau) = (\gamma-1) \frac{\tilde{A}\Omega \cos(\Omega\tau) \sin(\Omega(X-0,5))}{\cos(0,5\Omega)}.$$

При расчете задачи в одномерной постановке [12] в случае малой амплитуды вынуждающей силы (при частотах вибрации 0,14 и 0,29) численное решение совпадает с аналитическим решением задачи в линейном приближении. Проверим, будет ли одномерное аналитическое решение описывать процесс при наличии стенок трубы.

Рассмотрим решение при минимальной частоте вибрации из выбранного диапазона частот —  $\Omega = 0,14$ . Как показали расчеты, при данной частоте вибрации давление, плотность и температура не зависят от радиальной координаты, их изменение происходит лишь вдоль продольной оси  $X$ . На рис. 2 приведена зависимость давления от времени в сечении  $X = 0,25$  в сравнении с одномерным аналитическим решением задачи в линейном приближении. Из рис. 2 видно, что изменение давления с течением времени хорошо согласуется с аналитическим решением, за исключением небольшого интервала времени в начальной стадии процесса, когда еще присутствуют свободные колебания. Отметим, что при наличии стенок трубы свободные колебания затухают гораздо раньше, чем в одномерном случае. В одномерном случае при данной частоте вибрации свободные колебания затухают при  $\tau \approx 4500$  [11], а в двумерном — при  $\tau \approx 20$ .

Аналитическое решение для давления, плотности и температуры представляет собой стоячую волну с узлом в центральном сечении полости. На рис. 3а показаны распределения плотности вдоль оси цилиндра в моменты наибольшего отклонения полости от положения равновесия ( $\tau = 110$  — крайнее левое положение полости,  $\tau = 132$  — крайнее правое положение полости), то есть когда у торцов цилиндра достигаются максимальные и минимальные значения давления, плотности и температуры. Видно хорошее совпадение численного и аналитического решений. На рис. 3б показано распределение продольной составляющей скорости на оси симметрии, а также средней по сечению скорости ( $\bar{R}$ )

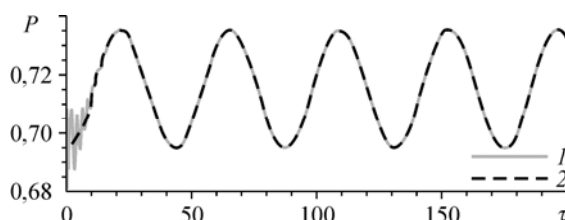


Рис. 2. Изменение давления с течением времени в сечении  $X = 0,25$  при  $\Omega = 0,14$ .

1 — численное решение, 2 — аналитическое решение для одномерного случая.

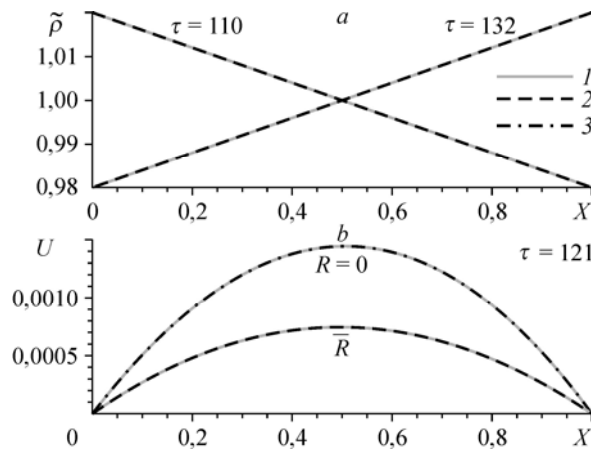


Рис. 3. Распределения плотности (a) и скорости (b) при  $\Omega = 0,14$ .

1 — численное решение, 2, 3 — аналитические решения для одномерного и двумерного случаев соответственно.

в момент прохождения полостью положения равновесия (при движении полости слева направо), то есть когда достигается максимальное значение скорости  $U$  в центре цилиндра. Распределение скорости не однородно по поперечному сечению, продольная составляющая скорости меняется от максимального значения (на оси симметрии) до нуля (на стенках полости). Для сравнения используется одномерное аналитическое решение [13] и двумерное аналитическое решение для осесимметричного случая [9]. Среднее по сечению распределение скорости совпадает с аналитическим решением одномерной задачи в линейном приближении. Также видно хорошее совпадение численного решения при  $R = 0$  с двумерным аналитическим решением в линейном приближении [9]. Для давления, плотности и температуры двумерное аналитическое решение в линейном приближении [9] при рассматриваемых адиабатических граничных условиях близко к одномерному и также дает хорошее совпадение с численным решением. Средние за период распределения давления, плотности и температуры при данной частоте вибрации равны их начальным распределениям.

В моменты наибольшего отклонения полости от положения равновесия в области образуются вихри (тороидальные вихри) с центром при  $X = 0,5$  (рис. 4). На рис. 4 момент

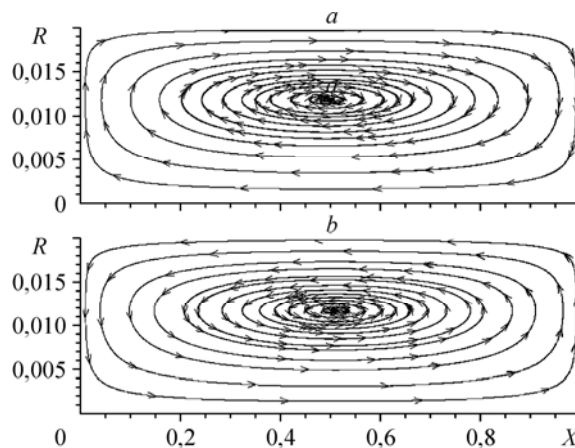


Рис. 4. Линии тока в моменты наибольшего отклонения полости от положения равновесия при  $\Omega = 0,14$ .  
 $\tau = 110$  (a), 132 (b).

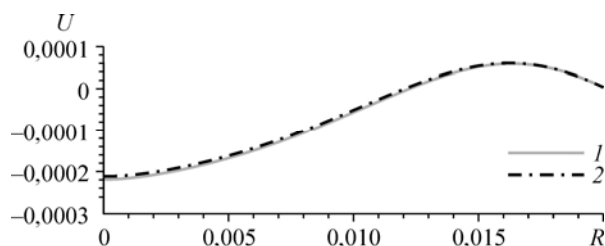


Рис. 5. Распределения скорости  $U$  вдоль радиуса при  $X = 0,5$ ,  $\tau = 110$ ,  $\Omega = 0,14$ .  
1 — численное решение, 2 — аналитическое решение для двумерного случая.

времени  $\tau = 110$  соответствует крайнему левому положению полости, а момент  $\tau = 132$  — крайнему правому положению полости. В эти моменты времени газ в полости меняет свое направление движения. На рис. 5 показано распределение скорости  $U$  вдоль радиуса в сечении  $X = 0,5$  при  $\tau = 110$  в сравнении с аналитическим решением в линейном приближении [9]. Точка перегиба на графике соответствует центру вихря.

Рассмотрим решение при максимальной частоте вибрации из выбранного диапазона частот —  $\Omega = 0,86$ . В этом случае процесс является существенно нелинейным. В начальной стадии процесса в газе образуются ударные волны. На рис. 6 показаны профили среднего по поперечному сечению давления в разные моменты времени в сравнении с одномерным численным решением, а также линии тока при тех же временах. При  $\tau = 0,6$  наблюдается зона разрежения газа у левого торца полости и сжатия у правого торца (рис. 6a) при начальном значении давления, равном 0,71. Сжатие газа приводит к образованию вихря (рис. 6b, 6d). При  $\tau = 0,9$  (рис. 6c) в одномерном случае виден профиль уже образовавшейся ударной волны. В двумерном случае ударная волна образуется позже, чем в одномерном. В одномерном случае ударная волна образуется при  $\tau \approx 0,8$ , в двумерном случае — при  $\tau \approx 1,1$ . При  $\tau = 1,3$  (рис. 6e) видно различие в скоростях ударных волн. На рис. 6f также виден разрыв. Приблизительно по истечении первого периода вибрации полости, ударные волны затухают. В режиме установившихся колебаний давление постоянно вдоль радиальной координаты в отличие от температуры и плотности.

Поскольку над газом постоянно совершается работа и нет оттока тепла через границы полости, температура и давление увеличиваются с течением времени. В качестве иллюстрации на рис. 7 показано изменение температуры с течением времени в трех точках на оси симметрии полости (у левого торца, в четверти и в центре полости). Видно, что амплитуда колебаний уменьшается с приближением к центру полости. Подобным же образом ведет себя и давление. На рис. 8 показаны более подробно колебания температуры в разных точках полости. В центральной части полости наблюдаются колебания с удвоенной частотой вибрации полости. Изменение частоты колебаний происходит при приближении к центру полости.

На рис. 9 показаны средние за период распределения температуры на оси симметрии полости и у ее боковой поверхности в разные моменты времени. Темп повышения температуры во всех точках области одинаковый и падает с течением времени, при этом средняя за период температура в центральной части полости больше, чем у торцов. Среднее за период давление, напротив, в центральной части полости ниже, чем у торцов. На рис. 10 показаны средние за период распределения плотности, температуры и давления

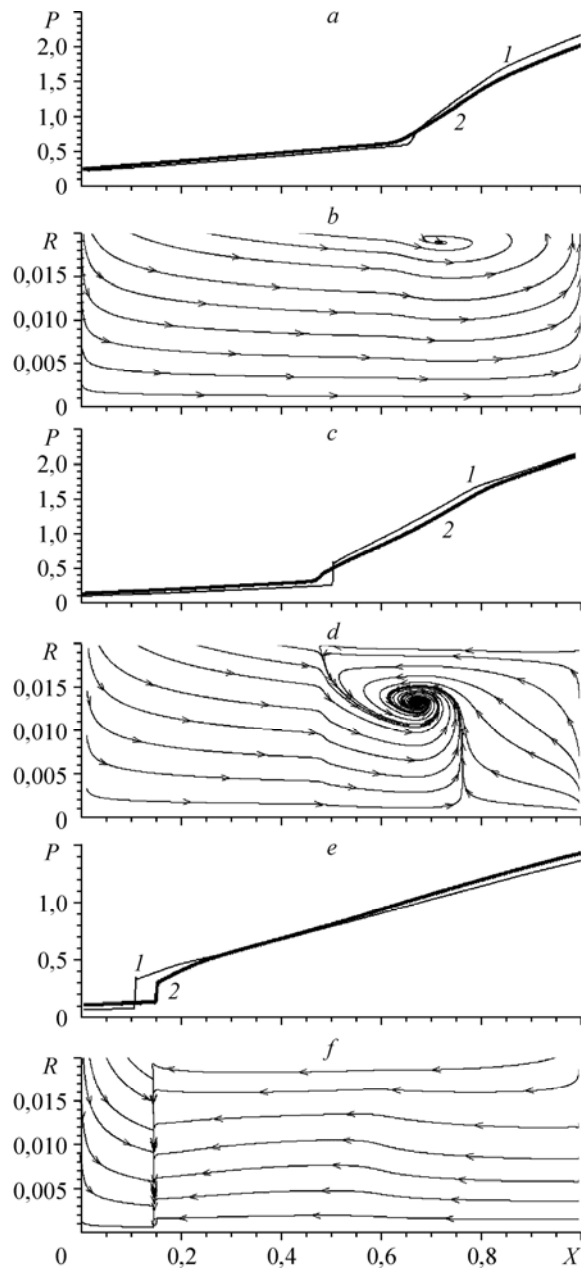


Рис. 6. Профили давления и линии тока в начальной стадии процесса при  $\Omega = 0,86$ .  
 $\tau = 0,6$  (a, b),  $0,9$  (c, d),  $1,3$  (e, f); 1 — одномерный случай, 2 — двумерный случай.

при  $\tau \approx 1900$ . Среднее за период распределение плотности становится с течением времени постоянным, при этом средние за период значения плотности у торцов цилиндра больше начального значения плотности (начальная плотность —  $\tilde{\rho} = 1$ ), а в центре цилиндра — меньше начального значения. Происходит отток массы от центральной части полости к ее торцам (рис. 10a). Средние за период температура и давление (рис. 10b, 10c) повышаются с течением времени. Отметим, что максимальная средняя за период температура, так же как и минимальная средняя за период плотность, наблюдаются в центральной части

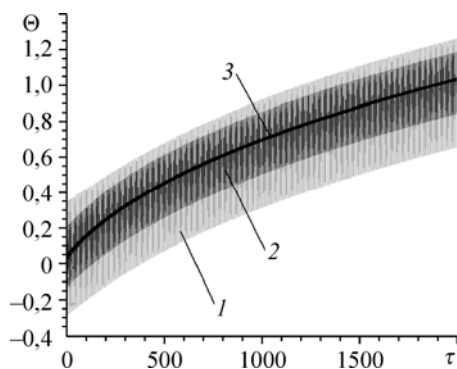


Рис. 7. Изменение температуры с течением времени при  $R = 0$ ,  $\Omega = 0,86$ .  
 $X = 0,0005$  (1),  $0,25$  (2),  $0,5$  (3).

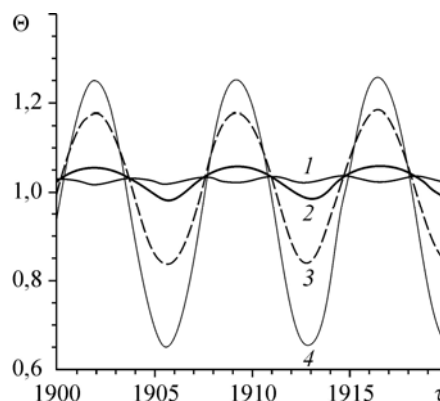
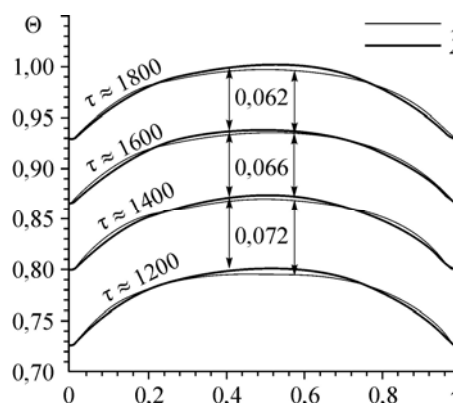


Рис. 8. Изменение температуры с течением времени при  $R = 0$ ,  $\Omega = 0,86$ .  
 $X = 0,5$  (1),  $0,45$  (2),  $0,25$  (3),  $0,0005$  (4).

Рис. 9. Средние за период распределения температуры при  $\Omega = 0,86$ .  
 $R = 0$  (1),  $0,0197$  (2).



полости у ее боковой поверхности. Из рис. 10с видно, что давление не зависит от радиальной координаты.

На рис. 11 приведены максимальные по области значения средней за период температуры, среднего за период давления и минимальные по области значения средней за период плотности при разных частотах вибрации

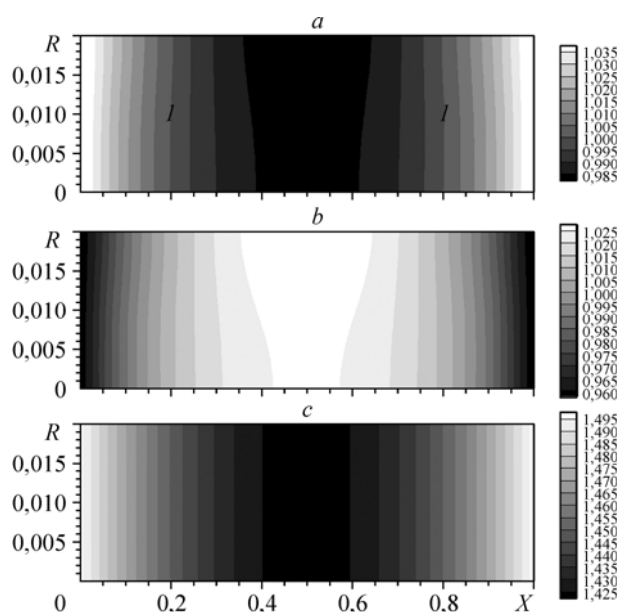


Рис. 10. Средние за период распределения плотности (а), температуры (b) и давления (с) при  $\Omega = 0,86$ ,  $\tau \approx 1900$ .

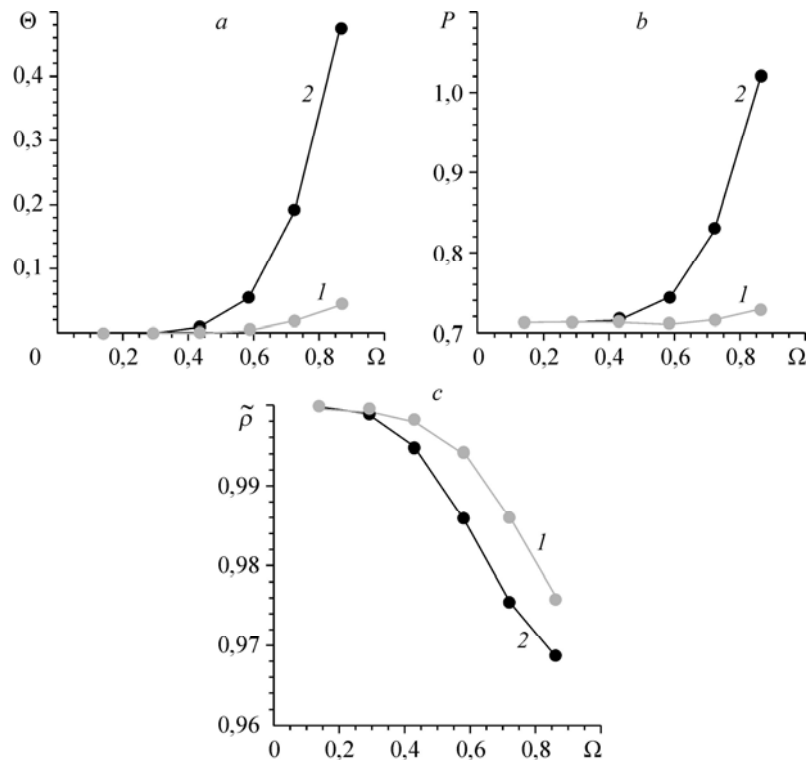


Рис. 11. Максимальные по области значения средних за период температуры (а) и давления (b) и минимальные по области значения средней за период плотности (с) в зависимости от частоты вибрации при  $\tau \approx 500$ .

1 — одномерный случай, 2 — двумерный случай.

на время  $\tau \approx 500$ , а также эти значения в одномерном случае. Повышение давления и температуры в двумерном случае происходит быстрее, чем в одномерном, поскольку в двумерном случае существенно влияние вязкой диссипации. Отток массы от центра полости также более ярко выражен в двумерном случае. Можно сказать, что нелинейные эффекты проявляются сильнее в двумерном случае по сравнению с одномерным.

На рис. 12 показаны линии тока в моменты наибольшего отклонения полости от положения равновесия: при  $\tau = 1902$  — крайнее левое положение полости, при  $\tau = 1905,6$  —

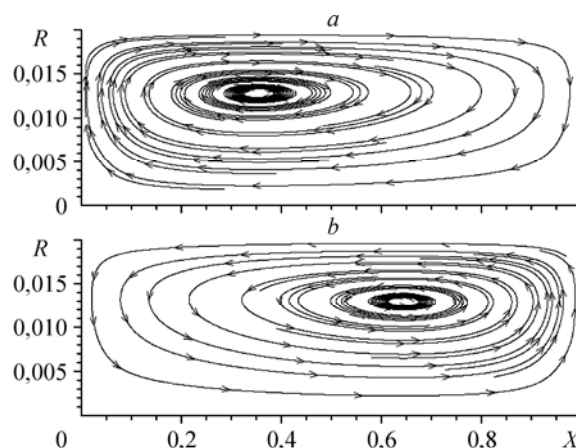


Рис. 12. Линии тока в моменты наибольшего отклонения полости от положения равновесия при  $\Omega = 0,86$ .  $\tau = 1902$  (а),  $1905,6$  (b).

крайнее правое положение полости. Видно, что центры вихрей смещаются по ходу движения полости, в отличие от случая малой частоты вибрации, когда центры вихрей находятся при  $X = 0,5$ .

### Заключение

В результате проведенных исследований можно сделать следующие выводы. Распределение давления в режиме установившихся колебаний однородно по поперечному сечению. В случае малой частоты вибрации в режиме установившихся колебаний процесс может быть описан с помощью аналитического решения задачи в линейном приближении, при этом плотность и температура также не зависят от радиальной координаты, и колебания давления, плотности и температуры могут быть описаны с помощью аналитического решения соответствующей одномерной задачи в линейном приближении. С повышением частоты вибрации (при фиксированной амплитуде вибрации) проявляются нелинейные эффекты. В начальной стадии процесса образуются ударные волны, которые затухают в течение первого периода движения полости. Происходит нагрев газа, повышение среднего за период давления и отток массы из центральной части полости, причем отклонение средних за период распределений от начальных распределений сильнее, чем в случае одномерной задачи. Колебания давления, плотности и температуры в центральной части полости осуществляются с удвоенной частотой вибрации полости. В моменты, соответствующие наибольшему отклонению полости от положения равновесия, образуется вихрь, центр которого при увеличении частоты вибрации смещается от центра к торцу по ходу движения полости.

### Список литературы

1. Saenger R.A., Hudson G.E. Periodic shock waves in resonating gas columns // J. Acoust. Soc. Am. 1960. Vol. 32, No. 8. P. 961–970.
2. Аганин А.А., Ильгамов М.А. Нелинейные колебания газа в закрытой трубе // ПМТФ. 1994. Т. 35, № 6. С. 39–44.
3. Галиуллин Р.Г., Зарипов Р.Г., Галиуллина Э.Р., Давыдов Р.И. Резонансные колебания газа в закрытой трубе в области перехода к ударным волнам // Инженерно-физический журнал. 2000. Т. 73, № 2. С. 27–32.
4. Kawahashi M., Arakawa M. Nonlinear phenomena induced by finite-amplitude oscillation of air column in closed duct // JSME Int. J. 1996. Vol. 39, No. 2. P. 280–286.
5. Aktas M.K., Ozgumus T. The effects of acoustic streaming on thermal convection in an enclosure with differentially heated horizontal walls // Int. J. Heat Mass Transfer. 2010. Vol. 53. P. 5289–5297.
6. Fu W.S., Shieh W.J. A study of thermal convection in an enclosure induced simultaneously by gravity and vibration // Int. J. Heat Mass Transfer. 1992. Vol. 35, No. 7. P. 1695–1710.
7. Fu W.S., Shieh W.J. Transient thermal convection in an enclosure induced simultaneously by gravity and vibration // Int. J. Heat Mass Transfer. 1993. Vol. 36, No. 2. P. 437–452.
8. Kim K.H., Hyun J.M., Kwak H.S. Buoyant convection in a side-heated cavity under gravity and oscillations // Int. J. Heat Mass Transfer. 2001. Vol. 44. P. 857–861.
9. Hamilton M.F., Piinskii Y.A., Zabolotskaya E.A. Thermal effects on acoustic streaming in standing waves // J. Acoust. Soc. Am. 2003. Vol. 114. P. 3092–3101.
10. Зубков П.Т., Яковенко А.В. Расчет влияния вибрации на область, заполненную совершенным вязким газом // Теплофизика высоких температур. 2012. Т. 50, № 3. С. 401–407.
11. Зубков П.Т., Яковенко А.В. Влияние вибрации на область с газом при адиабатических и изотермических граничных условиях // Теплофизика и аэромеханика. 2013. Т. 20, № 3. С. 283–294.
12. Губайдуллин А.А., Яковенко А.В. Нелинейные эффекты при вибрационном воздействии на полость, заполненную совершенным газом // Теплофизика высоких температур. 2014. Т. 52, № 2. P. 276–282.
13. Исакович М.А. Общая акустика. М.: Наука, 1973. 496 с.

Статья поступила в редакцию 3 февраля 2014 г.